

東海大学工学部 森田定市 宇都一馬 冬木衡

1. まえがき 従来、くい打ちや標準貫入試験など、総衝撃をうける物体中に伝播する応力の測定は「抵抗線ひずみゲージ」—「増巾器」—「オシロスコープ」の系列で計測されることが多い。しかし、このような高速現象を測定するには応答周波数の高い測定器を用いるに要がある。

本研究は、高い抵抗値の箔ひずみゲージあるいは半導体ひずみゲージを用いることによって、前置増巾器なしに、シニクロスコープを作動させようというものである。高い抵抗値のひずみゲージを用いることにより、高ハーフツッジ電圧をかけられることができる、したがって大きな出力電圧が得られるものである。前置増巾器を設けることによって生ずる雑音の影響をさりげることができる。このような高速現象を測定する上に問題となるつきのような点について基礎的な研究を行なつた。
 ①リード線の種類および長さの変化による影響。
 ②ひずみゲージの種類による影響。
 ③雑音の問題。
 ④現場測定とともに問題。
 あわせて弾性波動方程式による理論値と実測値の比較、クッションの問題について、二三の考察を行なつた。

2. 実験方法 実験装置は写真-1に示すような自由落下式衝撃装置である。5mの鉛直に立てられた四本の支柱の中間に3本のアルミ製の空心棒が支えられている。ハンマーはこの間を自由落下して支持台の上に立てられた実験棒の上端に衝突する。実験棒は径2.5mm、長さ100cmの軟鋼丸棒である。ハンマーや実験棒と同じ寸法で、径および長さをいろいろに変化させてある。実験棒には図-1に示す位置に半導体ひずみゲージ（抵抗値 $R = 2^{K_{\text{fz}}}$ ゲージ率 $\alpha = 1/20$ 、ゲージ長 $l = 4\text{mm}$ ）および箔ひずみゲージ（ $R = 500\Omega$ 、 $\alpha = 2.1$ 、 $l = 5\text{mm}$ ）をEP-17で貼つてある。中心に対する位置に貼つた2枚を直列につなぎ、ネットストンブリッジの一辺とする。

リード線は、同軸ケーブル3C2T、長さ約5mである。ブリッジ電源には鉛蓄電池12Vを直列に2個つなげた。これによると1000μのひずみに対して、半導体ひずみゲージで約0.9V、箔ひずみゲージで約0.013Vの出力電圧が得られた。測定にはデュアルビームシンクロスコープDS-5305およびモリスコープMS-5103Bを用

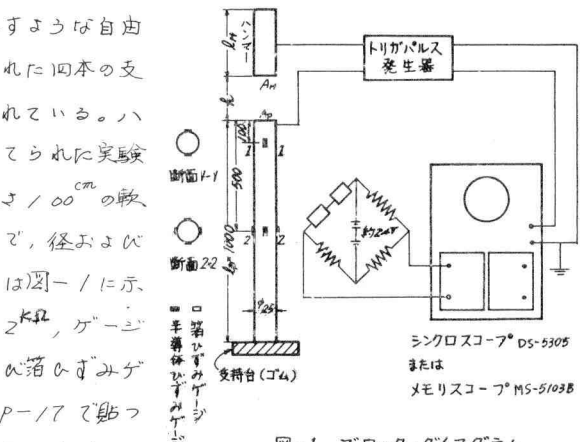


図-1 ブロック・ダイアグラム

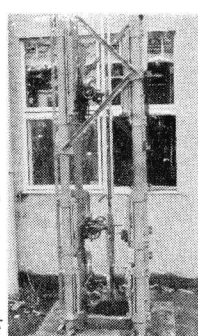


写真-1 実験装置

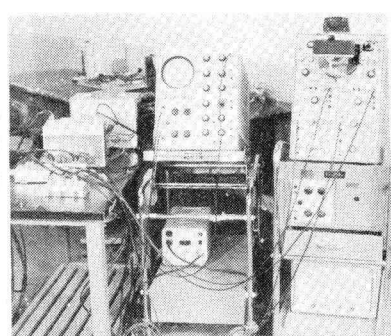


写真-2 測定器

いた。ユニットとしては、半導体ひずみゲージ用として、SP-20D-A(最大感度 50 mV/V , 周波数特性 10 MHz 以上, 立上り時間 $0.035 \mu\text{s}$ 以下), 薄ひずみゲージ用として, SP-02DFH-A(最大感度 1 mV/V , 周波数特性 350 kHz 以上, 立上り時間 $1 \mu\text{s}$ 以下)を使用した。

ハンマーをんの高さから落下させると, 衝突した瞬間に実験棒には $\sigma_p = \frac{A_H}{A_H + A_P} \sqrt{2E\delta h}$, ハンマーには $\sigma_{H_0} = \frac{A_P}{A_H + A_P} \sqrt{2E\delta h}$ なる応力が生じ, $C = \sqrt{E/P}$ なる速度で他端に向って伝播はじめる。この理論的解析は参考文献(1)を参照されたい。

3 実験結果

a) ハンマーの長さの変化による影響。(落下高 $h = 121.4 \text{ cm}$ 理論値 $\sigma_p = 1000 \text{ kg/cm}^2$ 横軸 $100 \mu\text{s}/(\text{div})$)

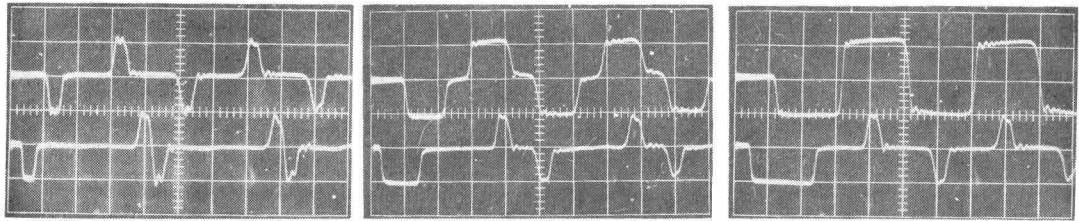


写真-3 $l_H=10 \text{ cm}$ 到達応力 $\sigma_p=1040 \text{ kg/cm}^2$ 写真-4 $l_H=30 \text{ cm}$, $\sigma_p=1040 \text{ kg/cm}^2$, 写真-5 $l_H=50 \text{ cm}$, $\sigma_p=1030 \text{ kg/cm}^2$

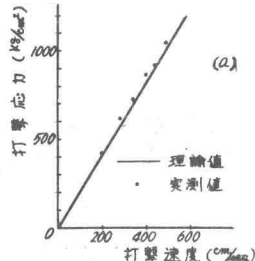


図-2 理論値と実測値との比較

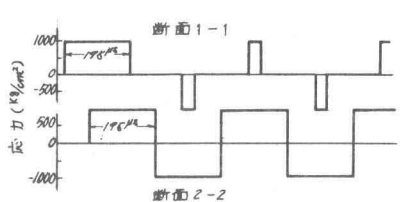
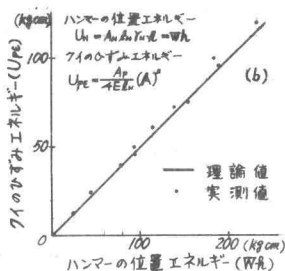


図-3 写真-5の場合の理論波形

理論値と実測値との比較を図-2に示す。(b)図のひずみエネルギー U_p は写真-3～5(ア)との四角形面積 A とプローメーターで測定して求めた。 U_p はハンマーの位置エネルギー U_h の $\frac{1}{2}$ である。

b) ハンマーの径の変化による影響。(落下高 $h = 100 \text{ cm}$, 横軸 $100 \mu\text{s}/(\text{div})$, 感度 0.5 V/div.)

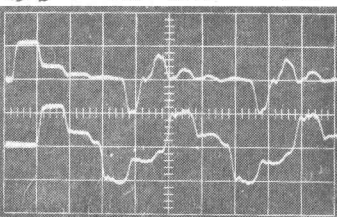
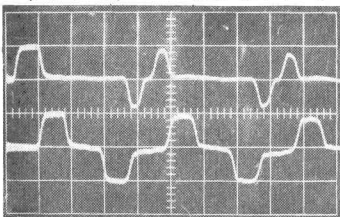


写真-6 ハンマーの径 $\phi 25 \text{ mm}$

写真-7 $\phi 36 \text{ mm}$

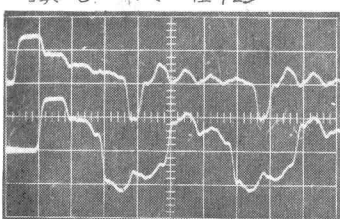


写真-8 $\phi 50 \text{ mm}$

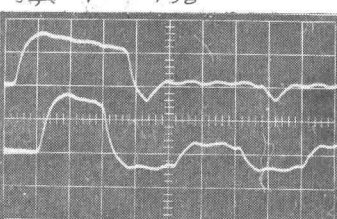


写真-9 $\phi 100 \text{ mm}$

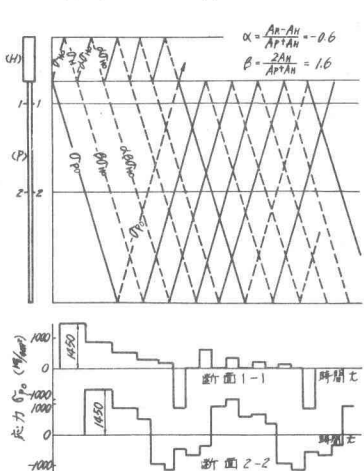


図-4 写真-8の場合の理論波形

図-4に $\phi = 50^\circ$ の場合の理論的に求められる波形を示してある。ここに ρ 、 β はそれぞれ反射係数、透過程係数とよばれ、断面が変化する箇所での応力の反射と透過の割合を示す。図において、実線は圧縮応力、破線は引張応力を表わす。

図-5はハンマーと実験棒の断面積の比に対し、最大応力を、いろいろな落下高さに、について表わしたもので理論値と実測値はよく一致する。

C) 線の種類およびその長さによる影響 (箔ひずみゲージを使用、横軸 $50\mu s/div.$ 感度 $5 mV/div.$)

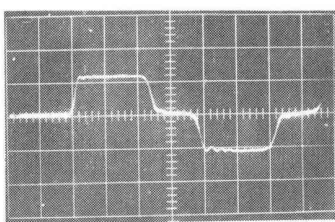


写真-10 同軸 3C2V 5m

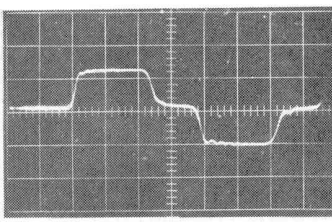


写真-11 同軸 3C2V 50m

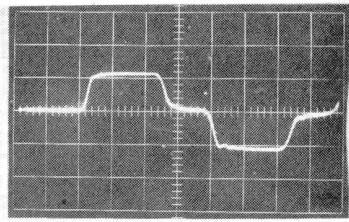


写真-12. ニ芯シールド 50m

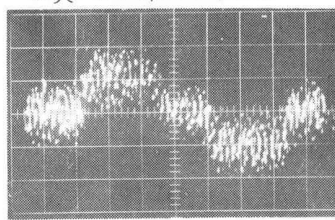


写真-13 ニ芯平打ちビニール線 50m

写真10～13より、シールドされたリード線をつかって差動(リード線かひこう雜音を消す方法)を使えば、線の種類およびその長さの変化による影響は認められまい。

ニ芯平打ちビニール線は差動を効かせても、雜音の影響をうける。

d) ひずみゲージの比較 (ハンマーの長さ $l_H = 40 cm$, 横軸 $50\mu s/div.$)

写真-14の波形で、上は半導体ひずみゲージ、下は箔ひずみゲージによるものである。2つの観測波形は立ち上り時間、最大応力に差異は認められまい。

ただし、この場合測定器の特性もしくめに比較である。(SP-20D-AとSP-02DFH-Aでは特性に相違がある。)

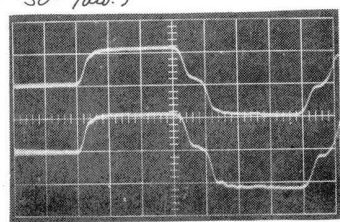


写真-14. ひずみゲージの比較

e) 時間軸を縮めた波形 (横軸 $0.5 ms/div.$)

写真-15は写真-4の時間軸を $1/5$ に縮めにしたもので、減衰の状況を観測した。上が $1/1$ 断面、下が $2-2$ 断面である。減衰量は $2-2$ 断面より、 $1-1$ 断面の方が大きい。これは、実験棒の先端ほど反射波の影響をうけやすく符号がかわった反射波によって応力が一部打ち消されるためである。

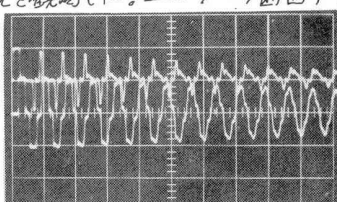


写真-15

サ) クッションを介して打撃した場合 (ハンマーの長さ $l_H = 40\text{cm}$, 落下高さ $h = 121.4\text{cm}$)

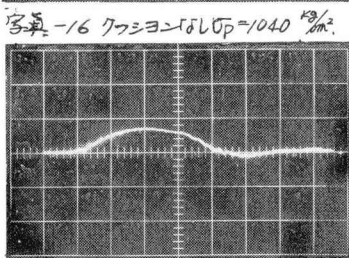
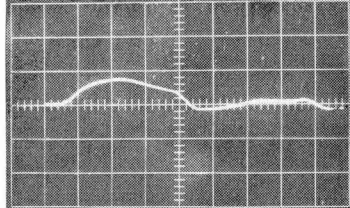
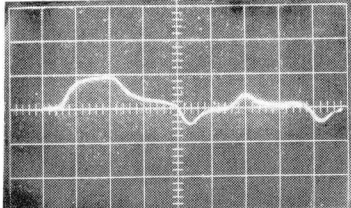
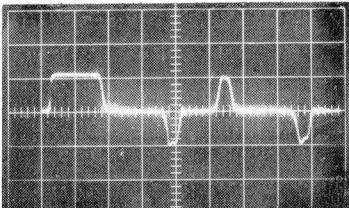


写真-16 クッションなし $O_P = 1040 \text{kg/cm}^2$

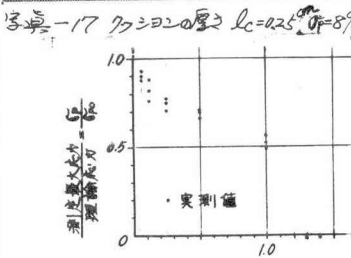


写真-17 クッションの厚さ $l_c = 0.25, O_P = 870 \text{kg/cm}^2$

写真-18 $l_c = 1.0, O_P = 710 \text{kg/cm}^2$

図-6はクッションの厚さの場合の理論値に対する、測定最大応力の割合をプロットしたものである。クッションの厚さの増加とともにばって、最大応力は減少する。

図-6 $\frac{\text{クッションの厚さ}}{\text{ハンマーの長さ}} = \frac{l_c}{l_H}$

クッションにはナイロン(メン

ブリ率 $E = 2.9 \times 10^{11} \text{kg/cm}^2$ 、単位体積重量 $\rho = 1.18 \times 10^{-3} \text{kg/cm}^3$)と決った。

写真-20は断面積 $A_P = 25/\text{cm}^2$ 、長さ $l_P = 12\text{m}$ のH鋼ゲイを断面積 $A_H = 1,180 \text{cm}^2$ 、長さ $l_H = 1\text{m}$ のハンマーで打撃した場合の実測波形である。測定位置は上端から 1.0m で、半導体ひずみゲージ($R = 1000\Omega$, $d = 1/70$)を使用した。落下高さ $= 100\text{cm}$ である。これによると応力効率 $\frac{O_P}{O_{th}}$ は 0.605 である。

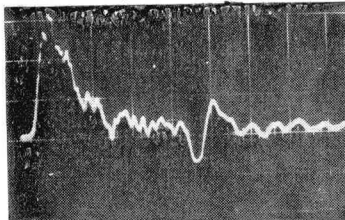


写真-20

4. むすび ○波動方程式による理論値と実測値によく一致する。測定値は $\pm 5\%$ 位の精度をもつ。○ハンマーの位置エネルギーは実験棒の歪エネルギーとその歪の生じている部分の分子のもつ運動エネルギーに2等分される。ただし、不連続面においてはあん分値は0から1の間にある。○抵抗値の高い半導体ひずみゲージを用いることによって、前置増幅器なしにミニクロスコープを作動させることができる。○箔歪ゲージでもシールドを完全にし、ミニクロスコープ内蔵の最大減度 $1\text{mV}/\text{cm}$ の差動型増幅器を使用すれば測定可能である。○ひずみゲージからブリッジまでのリード線には、二芯シールドあるいは同軸3C 2サ用いれば、少くとも、 50m 位までの観測は可能である。○クイ体は生じる最大応力(正負)を求めるには、適正な位置にひずみゲージを貼らなければならぬ。○クッションの厚さの増加につれて、最大応力は減少する。

参考文献

- 1) 宇都一馬, くいの打ち込み(弾性波としての打撃応力について), 橋梁と基礎, 1-7, 1967
- 2) 五十嵐伊勢美, 半導体ひずみ計素子, 応用物理, 第32巻, 第10号, 1963.

この実験観測にあたり、これは学生森原幹雄君の絶大な協力をうけた。ここに謝意を表します。